

DVE POZNÁMKY K DEMAGNETIZAČNÝM FAKTOROM TYČOVÝCH VZORKOV

VLADIMÍR HAJKO

Katedra fyziky Vysokej školy technickej v Košiciach

VENOVANÉ K 50. NARODENINAM AKADEMIKA
DIONÝZA ILKOVIGA

I. Ako je známe, demagnetizačný faktor elipsoidálnej feromagnetickej vzorky možno presne vypočítať z rozmerov elipsoidu a v prípade, že ide o rotačný elipsoid s veľkou polosou a a malou polosou b , uložený do homogéneho vonkajšího magnetického poľa tak, že smer veľkej osi elipsoidu spadá do smeru vonkajšího poľa, je hodnota jeho demagnetizačného faktora daná vzťahom

$$N = \frac{4\pi}{p^2 - 1} \left\{ \frac{p}{\sqrt{p^2 - 1}} \ln(p + \sqrt{p^2 - 1}) - 1 \right\},$$

kde $p = a/b$. Vidieť, že hodnota demagnetizačného faktora je úplne určená veľičinou p , a preto sa hodnoty demagnetizačných faktorov elipsoidov tabuliujú pre rôzne hodnoty p .

Pri tyčových vzorkach valcového tvaru je tiež zvykom pri hodnotení závislosti stredového (balistickejho) demagnetizačného faktora na geometrických rozmeroch tyče pracovať s veľičinou p , ktorá je však teraz definovaná vzťahom $p = l/d$, kde l je dĺžka tyče a d jej priemer, aj keď, ako je známe, nezávisia stredové demagnetizačné faktory tyčových vzoriek len od geometrických rozmerov tyče, ale aj od magnetického stavu tyče a od magnetických vlastností materiálu tyče.

Pri tyčových vzorkách so štvorcovým alebo obdĺžnikovým prierezom zavádzajú niektorí autori veľičinu p ako podiel dĺžky tyče a druhej odmociny z velkosti prierezu. Na inú možnosť definície veľičiny p poukazuje Schneider [1], ktorý túto definíciu ako podiel dĺžky tyče a priemera takého kruhu, ktorého obsah je rovný obsahu štvorcového alebo obdĺžnikového prierezu tyče. Ak označíme dĺžku tyče l a jej druhé dva rozmery a, b , je

$$p = \frac{\sqrt{\pi}}{2} \frac{l}{\sqrt{ab}}. \quad (1)$$

Schneider experimentálne zistil, že pri takejto definícii p sú priemerne (magnetometrické) demagnetizačné faktory valcovej tyče a tyče so štvorcovým prierezom pri tomže p rovnaké. Veľičiny p podľa definície (1) použil aj Warmuth [2], ktorý experimentálne zistil, že pri tomže p a tej istej susceptibiliti χ majú v obore rastúceho χ valcové vzorky a vzorky so štvorcovým prierezom ten istý stredový demagnetizačný faktor.

V špeciálnom prípade, keď tyčové vzorky sú zmagnetované do nasýtenia pozdĺž celej dĺžky, možno matematicky ukázať, že pri definícii veľičiny p podľa (1) sú stredové demagnetizačné faktory valcových tyčí a tyčí so štvorcovým alebo obdĺžnikovým prierezom pri tomže p rovnaké. To je účelom prvej poznamky.

Z magnetostatiky pre demagnetizačné pole platí vzťah

$$\mathbf{H}_p = \operatorname{grad} \left(\iint \frac{\operatorname{div} \mathbf{J}}{r} dV - \iint \frac{\mathbf{J} \cdot d\mathbf{S}}{r} \right), \quad (2)$$

kde sa integrácia týka celého objemu, resp. celého povrchu feromagnetika. V limitnom prípade, keď tyčová vzorka je zmagnetovaná do nasýtenia pozdĺž celej svojej dĺžky a vo smere dĺžky, je \mathbf{J} pozdĺž celej vzorky rovnaké, takže $\operatorname{div} \mathbf{J} = 0$ a vzťah (2) prejde v tomto prípade na tvar

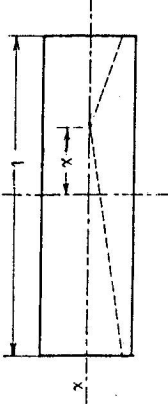
$$\mathbf{H}_p = -\operatorname{grad} \iint \frac{\mathbf{J} \cdot d\mathbf{S}}{r},$$

kde sa integrácia týka už len obidvoch základní tyče, keďže všade inde na povrchu je $\mathbf{J} \cdot d\mathbf{S} = 0$. Hodnotu demagnetizačného pola možno potom v určitom mieste na osi tyče (obr. 1) vypočítať podľa vzťahu

$$H_x = \left(\frac{l}{2} + x \right) J \iint \iint \frac{dy dz}{\left[\left(\frac{l}{2} + x \right)^2 + y^2 + z^2 \right]^{\frac{3}{2}}} + \\ + \left(\frac{l}{2} - x \right) J \iint \iint \frac{dy dz}{\left[\left(\frac{l}{2} - x \right)^2 + y^2 + z^2 \right]^{\frac{3}{2}}},$$

ak sme os x orientovali v smere dĺžky tyče. Vzhľadom na to, že je $H_x = N_x J$, platí pre demagnetizačný faktor v tomže mieste na osi tyče vzťah

$$N_x = \left(\frac{l}{2} + x \right) \iint \iint \frac{dy dz}{\left[\left(\frac{l}{2} + x \right)^2 + y^2 + z^2 \right]^{\frac{3}{2}}} + \\ + \left(\frac{l}{2} - x \right) \iint \iint \frac{dy dz}{\left[\left(\frac{l}{2} - x \right)^2 + y^2 + z^2 \right]^{\frac{3}{2}}} \quad (3)$$



Obr. 1.

Uvedeným postupom spočítaval Arkadiev [3] demagnetizačné faktory pre úplne nasýtený stav valcových tyčí a pre stredový demagnetizačný faktor (pri $p \gg 1$) dostal hodnotu

$$N = \frac{2\pi}{p^2}. \quad (4)$$

Pre tyč s obdĺžnikovým prierezom o rozmeroch a, b zrejme platí

$$lp = \frac{\sqrt{\pi}}{2} \frac{l}{\sqrt{ab}}. \quad (1)$$

$$N_x = \left(\frac{l}{2} + x \right) \int_{-\frac{b}{2}}^{+\frac{b}{2}} \int_{-\frac{a}{2}}^{+\frac{a}{2}} \frac{dy dz}{\left[\left(\frac{l}{2} + x \right)^2 + y^2 + z^2 \right]^{\frac{3}{2}}} +$$

$$+ \left(\frac{l}{2} - x \right) \int_{-\frac{b}{2}}^{+\frac{b}{2}} \int_{-\frac{a}{2}}^{+\frac{a}{2}} \frac{dy dz}{\left[\left(\frac{l}{2} - x \right)^2 + y^2 + z^2 \right]^{\frac{3}{2}}}. \quad (5)$$

Riešením integrálov vo vzťahu (5) dostávame pre N_x vzťah

$$N_x = 2 \left[\operatorname{arctg} \frac{ab}{2 \left(\frac{l}{2} + x \right) \sqrt{a^2 + b^2 + 4 \left(\frac{l}{2} + x \right)^2}} - \right. \\ \left. - \operatorname{arctg} \frac{2 \left(\frac{l}{2} + x \right) \sqrt{a^2 + b^2 + 4 \left(\frac{l}{2} + x \right)^2}}{-ab} \right] + \\ + 2 \left[\operatorname{arctg} \frac{ab}{2 \left(\frac{l}{2} - x \right) \sqrt{a^2 + b^2 + 4 \left(\frac{l}{2} - x \right)^2}} - \right. \\ \left. - \operatorname{arctg} \frac{-ab}{2 \left(\frac{l}{2} - x \right) \sqrt{a^2 + b^2 + 4 \left(\frac{l}{2} - x \right)^2}} \right].$$

Pre stred tyče je $x = 0$, takže pri rešpektovaní okolnosti, že je spravidla $l \gg a$, a $l \gg b$, dostávame pre stredový demagnetizačný faktor hodnotu

$$N = 4 \left[\operatorname{arctg} \frac{ab}{l \sqrt{a^2 + b^2 + l^2}} - \operatorname{arctg} \frac{-ab}{l \sqrt{a^2 + b^2 + l^2}} \right] \doteq \\ \doteq 4 \left[\operatorname{arctg} \frac{ab}{l^2} - \operatorname{arctg} \frac{-ab}{l^2} \right] \doteq \frac{8ab}{l^2}, \quad (6)$$

ked sme príslušné výrazy v poslednej zátvorke rozvinuli v rad a zanedbali veľičiny malé vyššieho rádu.
Porovnaním vzťahu (4) a (6) dostávame podmienku, pri ktorej stredový demagnetizačný faktor valcovej tyče a tyče s obdĺžnikovým prierezom je v magnetickom stave úplného nasýtenia rovnaký. Je to zrejme splnené vtedy, keď platí

$$Ak teda definujeme pri tyčiach s obdĺžnikovým prierezom veličinu p podľa vzťahu (1), tak z predchádzajúceho plynne, že pri rovnakom p majú valcové tyče aj tyče s obdĺžnikovým prierezom v magnetickom stave úplného nasýtenia rovnaké stredové demagnetizačné faktory.$$

². Druha poznámka sa týka zjavu hysterezie stredového demagnetizačného faktora. Autor spolu s J. Danielom-Szabolom upozornil v práci [4] a [5] na to, že podstatu tohto zjavu treba vidieť v typickom priebehu procesu premagnetúvania tyčových vzoriek v homogénum postupne klesajúcim a do záporných hodnôt prechádzajúcim vonkajšom magnetickom poli. Oprávnenosť tohto tvrdenia možno podopriť aj výsledkami nasledujúcich úvah. Rozloženie magnetizácie pozdĺž tyče, prislúchajúce jednotlivým magnetickým stavom pri premagnetúvaniu možno s dosť dobrou presnosťou vyjadriť vzťahom

$$J = J_0(1 - k_1 x^2 - k_2 x^4), \quad (7)$$

kde J_0 je hodnota magnetizácie v strede tyče, x je vzdialenosť od stredu tyče miesta, v ktorom má magnetizácia hodnotu J , k_1 a k_2 sú konštanty, ktoré však môžu mať v rôznych magnetických stavoch tyče rôzne hodnoty. Do akej miery vzťah (7) správne vyjadruje rozloženie magnetizácie pozdĺž tyče v jednotlivých stavoch vidieť z tab. I, v ktorej sú porovnané výsledky vypočítané podľa vzťahu (7), pri vhodných hodnotách konštánt k_1 a k_2 s výsledkami meraní, uvedenými v práci [5].

Použitím vzťahu (7) a zavedením zjednodušujúceho predpokladu, že smer magnetizácie spadá do smeru dĺžky tyče v každom mieste tyče, možno hodnoty stredových demagnetizačných faktorov v jednotlivých magnetických stavoch tyče počas premagnetúvania matematicky vypočítať. Vychádzajú zo vzťahu (2) a rešpektujúc platnosť rovnice $H_p = NJ$, možno pre valcovú tyč vzhľadom

¹ Máme tu na mysi zložku magnetizácie spadajúcu do smeru dĺžky tyče. Túto totiž pri balistických meraních na tyčových vzorkách určujeme.

Tabuľka 1

J_0 v G	k_1 v cm^{-2} k_2 v cm^{-4}	J/J_0					
		0,0 l	0,2 l	0,4 l	0,6 l	0,8 l	0,95 l
1146	$k_1 = 0,562 \cdot 10^{-2}$ $k_2 = 0,293 \cdot 10^{-4}$	meranie výpočet	1,00 1,00	0,97 0,98	0,90 0,90	0,75 0,76	0,52 0,52
400	$k_1 = 0,682 \cdot 10^{-2}$ $k_2 = 0,226 \cdot 10^{-4}$	meranie výpočet	1,00 1,00	0,97 0,97	0,88 0,89	0,72 0,73	0,49 0,47
152	$k_1 = 0,682 \cdot 10^{-2}$ $k_2 = 0,226 \cdot 10^{-4}$	meranie výpočet	1,00 1,00	0,98 0,97	0,88 0,89	0,71 0,73	0,45 0,47
9,7	$k_1 = 1,016 \cdot 10^{-2}$ $k_2 = -0,02 \cdot 10^{-4}$	meranie výpočet	1,00 1,00	0,96 0,96	0,84 0,84	0,64 0,65	0,41 0,39
3,9	$k_1 = 1,588 \cdot 10^{-2}$ $k_2 = -0,553 \cdot 10^{-4}$	meranie výpočet	1,00 1,00	0,88 0,94	0,73 0,76	0,55 0,50	0,31 0,21
0,8	$k_1 = 2,300 \cdot 10^{-2}$ $k_2 = -0,980 \cdot 10^{-4}$	meranie výpočet	1,00 1,00	0,94 0,91	0,71 0,66	0,40 0,30	0,03 -0,07
-0,6	$k_1 = -2,120 \cdot 10^{-2}$ $k_2 = +2,814 \cdot 10^{-4}$	meranie výpočet	1,00 1,00	1,17 1,08	1,27 1,27	1,47 1,40	1,35 1,21
-9,2	$k_1 = 0,682 \cdot 10^{-2}$ $k_2 = 0,226 \cdot 10^{-4}$	meranie výpočet	1,00 1,00	0,96 0,97	0,88 0,89	0,73 0,73	0,49 0,47
-33,5	$k_1 = 0,682 \cdot 10^{-2}$ $k_2 = 0,226 \cdot 10^{-4}$	meranie výpočet	1,00 1,00	0,96 0,97	0,87 0,89	0,71 0,73	0,48 0,47
-96,4	$k_1 = 0,682 \cdot 10^{-2}$ $k_2 = 0,226 \cdot 10^{-4}$	meranie výpočet	1,00 1,00	0,99 0,97	0,90 0,89	0,73 0,73	0,50 0,47
-346	$k_1 = 0,682 \cdot 10^{-2}$ $k_2 = 0,226 \cdot 10^{-4}$	meranie výpočet	1,00 1,00	0,97 0,97	0,87 0,89	0,71 0,73	0,48 0,47
-996	$k_1 = 0,682 \cdot 10^{-2}$ $k_2 = 0,226 \cdot 10^{-4}$	meranie výpočet	1,00 1,00	0,97 0,97	0,89 0,89	0,72 0,73	0,49 0,47

Dĺžka tyče = $2l = l_0$.

na označenie v obr. 2, ako aj na zjednodušujúci predpoklad, že magnetizácia má v každom mieste tyče smer spadajúci do smeru dĺžky tyče, písat

$$N = 2\pi \int (-2k_1 x - 4k_2 x^3) \frac{\partial}{\partial a} \left[\int_0^R \frac{r dr}{\sqrt{(x+a)^2 + r^2}} \right] dx - \\ - 2\pi \frac{J_0 \partial}{J_0 \partial a} \int_0^R \frac{r dr}{\sqrt{\left(\frac{l_0}{2} + a\right)^2 + r^2}} + 2\pi \frac{J_0 \partial}{J_0 \partial a} \int_0^R \frac{r dr}{\sqrt{\left(\frac{l_0}{2} - a\right)^2 + r^2}}, \quad (8)$$

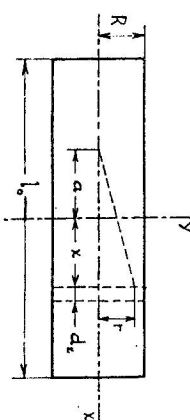
kde N vo vzťahu (8) značí hodnotu demagnetizačného faktora v mieste, ktoré sa nachodí vo vzdialosti a od stredu tyče. Ak vo vzťahu (8) jednotlivé integrály, ktoré treba vykonať pozdĺž celej tyče, resp. cez povrch základnej

tyče, vypočítame a položíme $a = 0$, pre hodnotu stredového demagnetizačného faktora, dostaneme

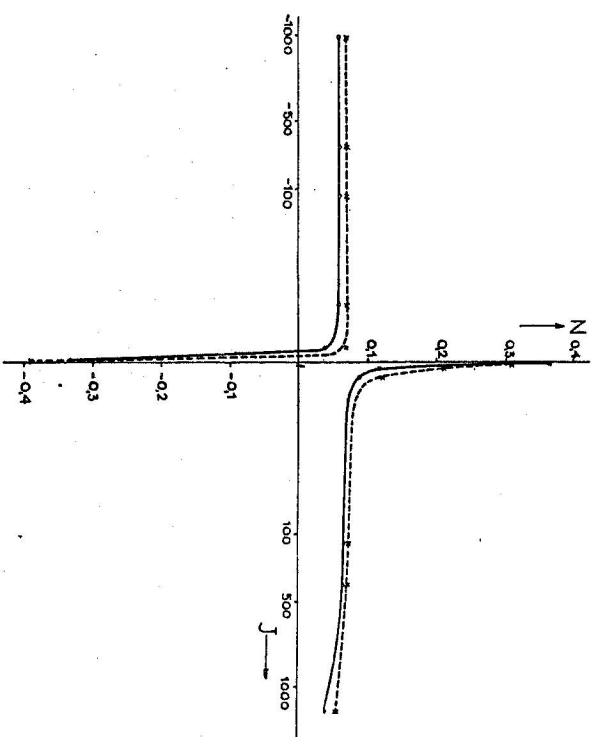
$$N = 4\pi k_1 R^2 \ln \frac{l_0}{R} - \frac{3}{2} \pi k_2 R l_0^2 - 6\pi k_2 R^4 \ln \frac{l_0}{R} + \frac{2\pi J_0}{p^2 J_0}, \quad (9)$$

keď sme pri úprave príslušných výrazov zanedbávali hodnotu výrazu R^2/l^2 , resp. veličiny malé vyššieho rádu voči jednotke.

Ak do vzťahu (9) dosadíme $l_0 = 20$ cm, $R = 0,5$ cm ako rozmery valcovej tyče, na ktorej sa robili merania, uvedené v tab. 1, môžeme pre jednotlivé magnetické stavby tyče použitím príslušných hodnôt konštant k_1 , k_2 vypočítať



Obr. 2.



Obr. 3.

týmto stavom prislúchajúce hodnoty stredových demagnetizačných faktorov.

Na obr. 3² je čiarkované vyznačená takýmto výpočtom získaná závislosť $N = N(J)$ pozdĺž klesajúcej vety hysterezínej slučky a porovnaná s experimentálne získanými výjadreniami tejto závislosti (plynné krivky). Vidieť, že i napriek zjednodušujúcim predpokladom výpočtom získaná závislosť $N = N(J)$ kvantitativne dobре vystihuje typický charakter zjavu hysterezíne stredového demagnetizačného faktora.

LITERATÚRA

1. Schneider W., Zeitschrift für Physik 42, 1927, 883—898. 2. Warmuth K., Archiv für Elektrotechnik 30, 1936, 761—779. 3. Arkadiev V. K., Sborník „Problemy ferromagnetizmu a magnetodinamiky“ izd. AN SSSR, Moskva 1946, 129—132. 4. Hajko, Daniel-Szabó J., Čes. Čas. Fys. 6, 1956, 352—354. 5. Hajko V., Daniel-Szabó J., Mat.-fyz. Čas. SAV.

Došlo 8. 10. 1956.

ДВА ЗАМЕЧАНИЯ К РАЗМАГНИЧИВАЮЩИМ ФАКТОРАМ СТЕРЖНЕВЫХ ОБРАЗЦОВ

VLADIMÍR HAJKO

Выводы

В первом замечании приводится подсчет среднего размагничивающего фактора стержня при оголовкового сечения в состоянии полного насыщения стержня и указывается на обстоятельство, что при определении величины p согласно (1) стержни цилиндрические и стержни при оголовкового сечения имеют при том же p то самое значение среднего размагничивающего фактора.

Второе замечание относится к явлению гистерезиса среднего размагничивающего фактора. Указывается на возможность математического выражения расположения намагничения вдоль стержня в отдельных состояниях, соответствующих отдельным точкам на склоне ветви гистерезиса, отношением (7), где k_1, k_2 константы, которые могут быть в разных магнитических состояниях разными. Использованием отношения (7) и при упрощенном предположении, что направление намагничения в каждом месте стержня ориентировано в направлении длины стержня, можно согласно (2) и (8) вычислить значения среднего размагничивающего фактора соответствующие отдельным магнитным состояниям стержня и таким образом получить математически выражение зависимости $N = N(J)$. Эта зависимость графически представлена пунктиром на рис. 3 и сравнена с той же самой зависимостью полученной экспериментально. Видно, что вычислением полученная зависимость $N = N(J)$ качественно хорошо выражает особенный характер гистерезиса размагничивающего фактора.

² Kvôli prehľadnosti sme na obr. 3 volili pre magnetizácie do 100 G inú mierku ako pre magnetizácie väčšie.

ZWEI BEMERKUNGEN ZU DEN ENTMAGNETISIERUNGSFÄKTOREN DER FERROMAGNETISCHEN STÄBE

VLADIMÍR HAJKO

Zusammenfassung

In der ersten Bemerkung wird die Ausrechnung des ballistischen Entmagnetisierungsfaktors des Stabes vom rechteckigen Querschnitt im Zustand absoluter Sättigung des Stabes durchgeführt und es wird an die Umstände hingewiesen, daß die zylindrischen und rechteckigen Stäbe bei der Definition der Größe p nach (1) bei dem gleichen p denselben Wert des ballistischen Entmagnetisierungsfaktors haben.

Die zweite Bemerkung beschäftigt sich mit der Erscheinung der Hysterese des ballistischen Entmagnetisierungsfaktors. Es wird hingewiesen an die Möglichkeit mathematisch die Zerlegung der Magnetisierung längs des Stabes in den Zuständen, welche den einzelnen Punkten des absteigenden Astes der Hysteresisschleife entsprechen, mit Hilfe der Beziehung (7) auszudrücken, wo k_1 und k_2 Konstanten sind, die in den verschiedenen magnetischen Zuständen verschiedene Werte haben können. Bei Verwendung der Beziehung (7) und bei vereinfachender Voraussetzung, daß die Magnetisierung in jeder Stelle des Stabes dieselbe Richtung hat wie die Länge des Stabes, kann man gemäß der Beziehung (2) und (8) die Werte des ballistischen Entmagnetisierungsfaktors, welche den einzelnen magnetischen Zuständen des Stabes entsprechen, ausrechnen und in dieser Weise den Ausdruck der Beziehung $N = N(J)$ mathematisch bekommen. Dieser Ausdruck ist graphisch im Bilde 3 strichweise dargestellt und mit der durch Experiment gewonnenen Beziehung $N = N(J)$ verglichen. Man sieht, daß die durch die Ausrechnung gewonnene Beziehung $N = N(J)$ qualitativ den typischen Charakter der Hysterese des Entmagnetisierungsfaktors gut ausdrückt.